

## KAPITTEL 3 : SCHRÖDINGER LIKNINGA

Vi har sett at i tiårene rundt det 20. århundres begynnelsen kom det eksperimentelle resultater som var i strid med forutsetninger fra klassisk fysikk. Dvs. og ~~materiale~~ hadde egne paper som tydet på at ~~pakkets~~ kunne oppføre seg som både bølger og partikler.

Vi skal nå se hvordan det ble konstruert en likning som kunne beskrive "materiebølgens" utbredelse. Den lar partikler ~~beskrivet ved bølgefunktjonen~~ beskrivet ved  $\psi(x, t)$ . Vi får kall sannsynligheten for posisjon og impuls, gitt ved  $\psi^* \psi$ .

### 3.1 Introduksjon av Schrödinger-ligningen:

F.eks. kan ikke utledes noe mer enn Newtons gravitasjonslikning eller  $F = ma$ . Vi skal se at noen rimelig innbygde antakelser føder til en likning der løsningene viser seg å gi numeriske rettige forutsetninger.

Først, litt generelt om bølger:

En <sup>plan</sup> bølge i positiv x-retning, med frekvens  $\omega$  og bølgelengde  $\lambda$ , er gitt ved:

$$\tilde{\psi}(x, t) = A \cos\left(\frac{2\pi x}{\lambda} - 2\pi\omega t\right)$$

Notasjonsforenkling:

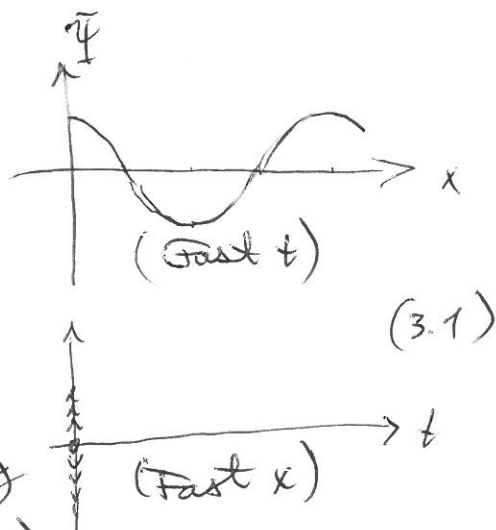
$$k = \frac{2\pi}{\lambda} \quad \text{bølgetallet}$$

$$\omega = 2\pi\nu \quad \text{vinkelfrekvens}$$

Bølgetallet er # bølgelengdt pr. lengdeenhet, vinkelfrekvensen # perioder pr. tidsenhet.

$$\Rightarrow \quad \psi(x, t) = A \cos(kx - \omega t) \quad (3.2)$$

gives en topp når  $t=0$  og  $x=0$ , så beveger den seg slik:



%

$$x_{\max} = \frac{\omega}{k} t \quad (3.3)$$

(3/2)

eller:

$$v = \frac{\omega}{k} \quad \text{jase hastigheten}$$

3D:

En plan bølge i retning  $\hat{k}$ , hvor

$$\vec{k} = |\vec{k}| \hat{k}$$

er gitt ved

$$\psi(\vec{r}, t) = A \cos(\vec{k} \cdot \vec{r} - \omega t)$$

Men generelt, der  $A_1$  og  $A_2$  bestemmer amplitude og fase:

$$\psi(\vec{r}, t) = A_1 \cos(\vec{k} \cdot \vec{r} - \omega t) + A_2 \sin(\vec{k} \cdot \vec{r} - \omega t) \quad (3.4)$$

Eller i kompleks notation:

$$\boxed{\psi(\vec{r}, t) = B e^{i(\vec{k} \cdot \vec{r} - \omega t)}} \quad (B \text{ kompleks}) \quad (3.5)$$

klassisk mekanikk og elektromagnetisme  
tar man her underforstatt realdelen.

kvantmekanikk skal vi se at det er forsiktig!

\*

For en likning for bølgjefunksjonen:

funn for forbindelser mellom  $\vec{k}$ ,  $\omega$ ,  $\vec{p}$  og  $E$ .

$$E = h\nu = \hbar\omega \quad (\text{lys})$$

$$p = h/k = \hbar k \quad (\text{matriebølger}) \quad (3.7)$$

Anta at også  $E$ -relasjonen holder for matriebølger.

3D:

$$\boxed{\vec{p} = \hbar \vec{k}}$$

rike-relativistisk energi:

$$E = \frac{p^2}{2m} \quad (3.8)$$

Konstruer den fra (3.5):

$$\begin{aligned} \frac{\partial \Psi}{\partial t} &= -i\hbar B e^{i(\vec{k}\vec{r}-\omega t)} \\ i\hbar \frac{\partial \Psi}{\partial t} &= \hbar \omega B e^{i(\vec{k}\vec{r}-\omega t)} = E \Psi \end{aligned} \quad (3.9)$$

Merk:

$$\left. \begin{array}{l} i\hbar \frac{\partial}{\partial t} - \text{lineær operatør} \\ \Psi - \text{egenfunksjon} \\ E - \text{egenverdi} \end{array} \right\} \quad ?$$

) For impulsen: gider

$$\vec{k}^2 = k_x^2 + k_y^2 + k_z^2$$

har vi

$$\begin{aligned} \frac{\partial \Psi}{\partial x} &= ik_x B e^{i(\vec{k}\vec{r}-\omega t)} \\ \frac{\partial \Psi}{\partial y} &= ik_y B e^{i(\vec{k}\vec{r}-\omega t)} \\ \frac{\partial \Psi}{\partial z} &= ik_z B e^{i(\vec{k}\vec{r}-\omega t)} \end{aligned}$$

eller

$$\begin{aligned} \nabla \Psi &= \hat{x} \frac{\partial \Psi}{\partial x} + \hat{y} \frac{\partial \Psi}{\partial y} + \hat{z} \frac{\partial \Psi}{\partial z} \\ &= i \vec{k} \Psi \end{aligned}$$

$$-i\hbar \nabla \Psi = \hbar \vec{k} \Psi = \vec{p} \Psi$$

Dvs.:

$$\left. \begin{array}{l} i\hbar \nabla - \text{lineær operatør} \\ \Psi - (\text{samme}) \text{ egenfunksjon} \\ \vec{p} - \text{egenverdi} \end{array} \right\} \quad ?$$

Lag en som gir ikke-relativistisk energi:

$$(-i\hbar \nabla) \cdot (-i\hbar \nabla) \Psi = \vec{p} \cdot \vec{p} \Psi$$

$$= p^2 \Psi$$

$$\Rightarrow -\frac{\hbar^2}{2m} \nabla^2 \Psi = \frac{p^2}{2m} \Psi = E \Psi \quad (3.10)$$

$$(\text{med } \nabla^2 = \frac{\partial^2}{\partial x^2} + \frac{\partial^2}{\partial y^2} + \frac{\partial^2}{\partial z^2})$$

eller alltså  $((3.9) + (3.10))$ :

$$-\frac{\hbar^2}{2m} \nabla^2 \Psi = i\hbar \frac{\partial \Psi}{\partial t} \quad (3.11)$$

$\frac{\hbar^2}{2m}$        $\frac{\partial}{\partial t}$

Ante at addisjonen på ~~denne~~ venstre side av:

gir total klassisk energi, dvs.

$$\boxed{-\frac{\hbar^2}{2m} \nabla^2 \Psi + V\Psi = i\hbar \frac{\partial \Psi}{\partial t}} \quad \begin{matrix} \text{SCHRÖDINGER-} \\ \text{LIKNINGEN} \end{matrix} \quad (3.12)$$

Den er ikke utledet, bare konstruert slik at for  $V=0$  har man plan-Debye-løsningen

$$\Psi = e^{i(\vec{p}\vec{r}-\omega t)}$$

Vi postulerer at (3.12) gir korrekt tilgang til løsning for alle  $V \neq 0$ .

Vi skal se at predikasjonen er i samsvar med eksperimenter for en stor mengde fysiske fenomener!

Generell fullt utskrevet form:

$$\begin{aligned} -\frac{\hbar^2}{2m} & \left( \frac{\partial^2}{\partial x^2} \Psi(x, y, z, t) + \frac{\partial^2}{\partial y^2} \Psi(x, y, z, t) + \frac{\partial^2}{\partial z^2} \Psi(x, y, z, t) \right) \\ & + V(x, y, z, t) \Psi(x, y, z, t) \\ & = i\hbar \frac{\partial}{\partial t} \Psi(x, y, z, t) \end{aligned} \quad (3.13)$$

og 1D:

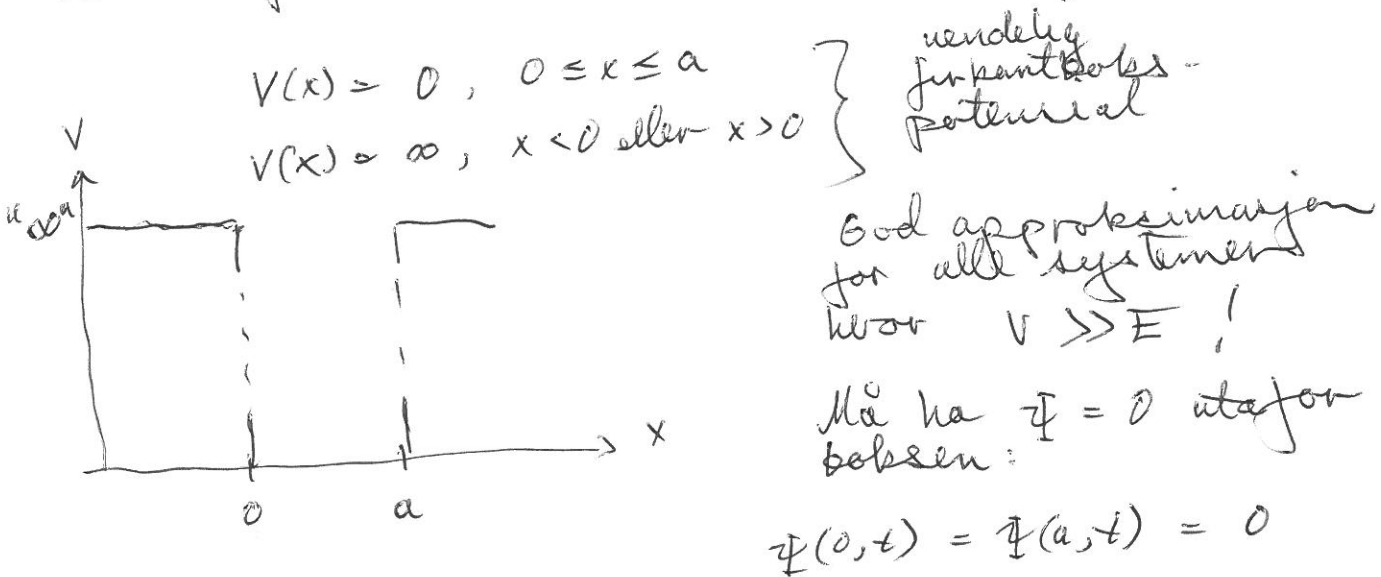
$$\boxed{-\frac{\hbar^2}{2m} \frac{\partial^2}{\partial x^2} \Psi(x, t) + V(x, t) \Psi(x, t) = i\hbar \frac{\partial}{\partial t} \Psi(x, t)}$$

Pa nestle side:

1D versjon av "partikkelen i boksl" .

Eksempl 3.1: Løsing av 1D SL

Ta det spesielle potensialet



3.1:

Hør  $V=0$ ; anta separabel form:

$$-\frac{\hbar^2}{2m} \frac{\partial^2}{\partial x^2} \psi(x, t) = i\hbar \frac{\partial \psi(x, t)}{\partial t} \quad (3.14)$$

$$\psi(x, t) = \Psi(x) \chi(t) \quad (3.15)$$

Rettferdiggjøres niv, vi kan finne løsning som oppfyller (3.14),

(separasjon av variable virker for en stor del av PDL i fysikken!)

Substituer; divider deretter:

$$-\frac{\hbar^2}{2m} \frac{\partial^2 \psi(x)}{\partial x^2} \chi(t) = i\hbar \psi(x) \frac{d\chi(t)}{dt}$$

$$\underbrace{\frac{1}{\psi(x)} \frac{\partial^2 \psi(x)}{\partial x^2}}_{\text{bare x-avh.}} = -\frac{2mi}{\hbar} \underbrace{\frac{1}{\chi(t)} \frac{d^2 \chi(t)}{dt^2}}_{\text{bare t-avh.}} \quad (3.16)$$

Ensste mulighet: lik en konstant avh. av både  $x$  og  $t$ !

$$\frac{d^2 \psi(x)}{dx^2} = C \psi(x) \quad (3.17)$$

$$-\frac{2mi}{\hbar} \frac{d^2 \chi(t)}{dt^2} = C \chi(t) \quad (3.18)$$

(3.17) har en sum av to eksponentielle funksjoner som løsning for  $C > 0$ , og en sum av to trigonometriske funksjoner for  $C < 0$ . For å ha  $\psi(0) = \psi(a) = 0$  kan vi ikke ha eksponentielle funksjoner.

$$\psi(x) = A_1 \sin \sqrt{-C} x + A_2 \cos \sqrt{-C} x \quad (3.19)$$

$$\psi(0) = 0 \Rightarrow \cancel{A_2 \cos \sqrt{-C} x} \quad \psi(x) = A_1 \sin \sqrt{-C} x$$

$$\psi(a) = 0 \Rightarrow \sqrt{-C} a = n\pi, \quad n=1, 2, 3, \dots \quad (3.20)$$

Mer i kap. 4 - her ser vi bare på  $n=1$ :

$$\Gamma_C = -\frac{\pi^2}{a^2}$$

$$\boxed{\psi(x) = A_1 \sin\left(\frac{\pi x}{a}\right)}$$

Bruk  $C$ -verdien i (3.18):

$$\frac{d\chi}{dt} = -\frac{i\hbar\pi^2}{2ma^2} \chi \\ \Rightarrow \chi = A_3 e^{-i\hbar\pi^2 t / 2ma^2}$$

Med  $A = A_1 A_3$ :

$$\boxed{\begin{aligned} \Psi(x,t) &= A \sin\left(\frac{\pi x}{a}\right) e^{-i\hbar\pi^2 t / 2ma^2}, \quad 0 \leq x \leq a \\ &= 0, \quad x < 0 \text{ eller } x > a \end{aligned}} \quad (3.21)$$

og neste avsnitt:

Bestemmelse av  $A$ !

Den generelle sporingen, og  $n$ 's fysiske betydning skal vi se på i neste kapittel.

### 3.2 Bølgefunksjonens interpretasjon

Max Borns forslag:

$$|\Psi(\vec{r}, t)|^2 = \Psi^*(\vec{r}, t) \Psi(\vec{r}, t)$$

som er en vekkelse,  
gir sannsynlighet per  
enhetsvolum for å finne  
partikkeln der

$\Psi^* \Psi$  kalles sannsynlighetsstettet.

$$\begin{aligned} \Psi^* \Psi &= \text{dim}(\text{1/volum}) \text{ i 3D} \\ &= \text{dim}(\text{1/length}) \text{ i 1D} \end{aligned}$$

En partikkel har ikke en bestemt posisjon i rommet som funksjon av tida; vi kan bare kjenna sannsynligheten for å finne partikkeln i en viss region av rommet.

Farevel, grunnidé fra klassisk mekanikk!

Se (3.12) & (3.13):

Hvis  $\Psi(\vec{r}, t)$  oppfyller  $\frac{\partial}{\partial r_i} \Psi = 0$   
(så gjør  $\Psi^* \Psi$  også det!)

Sannsynlighetsstettet i eksempl (3.1):

$$\begin{aligned} \Psi^* \Psi &= \left( A^* \sin\left(\frac{\pi x}{a}\right) e^{i \frac{\pi}{a} t / m_e^2} \right) \left( A \sin\left(\frac{\pi x}{a}\right) e^{-i \frac{\pi}{a} t / m_e} \right) \\ &= |A|^2 \sin^2\left(\frac{\pi x}{a}\right) \quad (\text{i pot. brennen}) \end{aligned} \tag{3.22}$$

Bestem  $|A|^2$  ved

$$\int \Psi^* \Psi d^3 r = 1 \quad \begin{matrix} (\text{integral over hele} \\ \text{rommet}) \end{matrix} \tag{3.23}$$

$\Psi$  bestemt slik, kalles normalisert.

3. vårt 1D eksempel 3.1:

$$\int_0^a |A|^2 \sin^2\left(\frac{\pi x}{a}\right) dx = 1 \quad (\text{se nedenst!})$$

$$|A|^2 \frac{1}{2}a = 1$$

$$|A|^2 = \frac{2}{a} \quad (3.24)$$

Kan velge  $A = \sqrt{\frac{2}{a}}$ , men en hvilken som helst  $A = e^{i\phi} \sqrt{\frac{2}{a}}$  er like bra! Men denne fasen forsvinner alltid når vi tar  $\bar{\Psi}^* \Psi$ !

Vi har sett (konvensjonelt reell & positiv A):

$$\Psi(x,t) = \begin{cases} \sqrt{\frac{2}{a}} \sin\left(\frac{\pi x}{a}\right) e^{-i\pi t/2ma^2}, & 0 \leq x \leq a \\ 0, & x < 0 \text{ eller } x > a \end{cases} \quad (3.25)$$

Med normalisert  $\Psi$ :  
dannsynligheten for å finne partikkelen i ett region, er lik integralet av  $\Psi^* \Psi$  over regionen.

Eksempel 3.2 dsh. for å finne partikkelen i avstand  $\varepsilon$  fra venstre vegg:

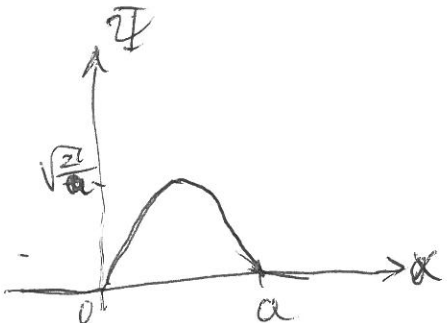
$$P(x < \varepsilon) = \int_{x=0}^{\varepsilon} \bar{\Psi}^* \Psi dx$$

$$= \int_0^{\varepsilon} \frac{2}{a} \sin^2\left(\frac{\pi x}{a}\right) dx$$

$$= \frac{\varepsilon}{a} - \frac{1}{2\pi} \sin \frac{2\pi\varepsilon}{a}$$

$$\sin \varepsilon \approx \varepsilon - \frac{1}{6}\varepsilon^3 + \dots$$

$$\Rightarrow P(x < \varepsilon) \approx \frac{2}{3} \pi^2 \left(\frac{\varepsilon}{a}\right)^3$$



Variabelskift  
jenn

$$\frac{\pi x}{a} = y, \quad dx = \frac{a}{\pi} dy, \quad x=a \Rightarrow y=\pi$$

$$= \int_0^\pi |A|^2 \sin^2 y \frac{a}{\pi} dy \cdot \underbrace{\frac{a}{\pi}}_{\pi/2}$$

nemlig!

Vi skal nå se hvordan noen fysiske målbare størrelser framkommer.  
Betrakt et stort # identiske partikler, beskrevet av  $\Psi$ . Målt gennomsnittlig posisjon:

$$\langle x \rangle = \int_{-\infty}^{\infty} \Psi^*(x, t) \times \Psi(x, t) dx \quad (3.28)$$

### Eksempel 3.3

Gennomsnittlig posisjon i firkantbrynnen.

$$\begin{aligned} \langle x \rangle &= \int_0^a \Psi^*(x, t) \times \Psi(x, t) dx \\ &= \int_0^a \frac{2}{a} \sin^2\left(\frac{\pi x}{a}\right) dx \quad \left(\frac{\pi x}{a} \rightarrow y\right) \\ &= \frac{2}{a} \left(\frac{a}{\pi}\right)^2 \int_0^{\pi/4} \sin y dy \\ &= \frac{1}{2} a \quad (\text{Målt i brynnen selv sagt}) \end{aligned}$$

Impulsen da?

Anta først spesielt tilfallet hvor  $\Psi$  er en egenfunktjon for p-operatoren, og normalisert:  $\int \Psi^* \Psi dx = 1$

$$-i\hbar \nabla \Psi = \hat{p} \Psi \rightarrow -i\hbar \frac{\partial \Psi}{\partial x} = p \Psi \quad (1D)$$

$$\int_{-\infty}^{\infty} \Psi^* (-i\hbar \frac{\partial}{\partial x}) \Psi dx = \int_{-\infty}^{\infty} \Psi^* p \Psi dx = p \stackrel{OK}{=} \underline{\underline{p}} \quad (3.29)$$

Postulerer at det følgende gælder <sup>også</sup> hvis ikke impulsegenfunktion:

$$\langle p \rangle = \int_{-\infty}^{\infty} \Psi(x, t) (-i\hbar \frac{\partial}{\partial x}) \Psi(x, t) dx$$

as QM, med korrespondanse mellom (lineare) operatører og observatører (målbare størrelser):

OBSERVABEL  $\leftrightarrow$  OPERATOR

posisjon	$x \leftrightarrow x$
impuls	$\hat{p} \leftrightarrow -i\hbar \nabla$
energi	$E \leftrightarrow i\hbar \frac{\partial}{\partial t}$

Børnevis p-egen funksjon, definitt p :  
eksempelvis

$$\Psi = e^{-iky - iwt} \quad (3.30)$$

$$\Rightarrow i\hbar \nabla \Psi = -i\hbar \frac{\partial \Psi}{\partial y} = -\hbar k \hat{y} \Psi$$

Derivat, for firkantstrømmen i (3.25) :

$$\begin{aligned} -i\hbar \frac{\partial}{\partial x} \Psi &= -i\hbar \frac{\partial}{\partial x} \sqrt{\frac{2}{a}} \sin\left(\frac{\pi x}{a}\right) e^{-i\hbar \pi^2 t / 2ma^2} \\ &= -i\hbar \frac{\pi}{a} \cdot \sqrt{\frac{2}{a}} \cos\left(\frac{\pi x}{a}\right) e^{-i\hbar \pi^2 t / 2ma^2} \\ &\neq konstant \times \Psi \end{aligned}$$

"Ikke p-  
eigenfunksjon,  
ikke tilstand  
med definitt  
impuls!"

Veddefinert derivat, forventningsverdier :

$$\langle O \rangle = \int \Psi^*(x,t) O \Psi(x,t) dx$$

For 1D tøflgefunksjoner :

$$\begin{aligned} \langle p \rangle &= \int_{-\infty}^{\infty} \Psi^*(x,t) (-i\hbar \frac{\partial}{\partial x}) \Psi dx \\ \langle x \rangle &= \int_{-\infty}^{\infty} \Psi^*(x,t) x \Psi dx \\ \langle E \rangle &= \int_{-\infty}^{\infty} \Psi^*(i\hbar \frac{\partial}{\partial t}) \Psi dx \end{aligned}$$

) Resutaten :  $\langle x^2 \rangle = \int_{-\infty}^{\infty} \Psi^*(x,t) x^2 \Psi dx$

$$\langle p^2 \rangle = \int_{-\infty}^{\infty} \underbrace{\Psi^*(-i\hbar \frac{\partial}{\partial x})(-i\hbar \frac{\partial}{\partial x})}_{-\hbar^2 \frac{\partial^2}{\partial x^2}} \Psi dx$$

Eks. 3.10

Impulsens forventningsverdi i kassen

$$\langle p \rangle = \int_{-\infty}^{\infty} \Psi^*(-i\hbar \frac{\partial}{\partial x}) \Psi dx$$

$$\begin{aligned} &= \int_{-\infty}^{\infty} \sqrt{\frac{2}{a}} \sin\left(\frac{\pi x}{a}\right) e^{i\hbar \pi^2 t / 2ma^2} \left(-i\hbar \frac{\partial}{\partial x} \sqrt{\frac{2}{a}} \sin\left(\frac{\pi x}{a}\right)\right) e^{-i\hbar \pi^2 t / 2ma^2} dx \\ &= -i\hbar \frac{\pi}{a} \int_{-\infty}^{\infty} \sin\left(\frac{\pi x}{a}\right) \cos\left(\frac{\pi x}{a}\right) dx \end{aligned}$$

$$= 0 \quad - et står ikke i høgning over at partikkelene  
i gjenomgang ikke drar ut av kassen!$$

### 3.3 Tidsavhengig SL; reellrelative løsninger; kvantiseringens opprinnelse

utledning av tidsavhengig SL

Anta at potensial er tidsavhengig:

$$V(\vec{r}, t) \rightarrow V(\vec{r})$$

Spesialiser videre til  $\vec{p}$  som egenfunksjon av energioperatoren, og separabel løsning:

$$-\frac{\hbar^2}{2m} \nabla^2 \psi + V(\vec{r}) \psi = i\hbar \frac{\partial \psi}{\partial t} \quad (3.31)$$

$$i\hbar \frac{\partial \psi(\vec{r}, t)}{\partial t} = E \psi(\vec{r}, t) \quad (3.32)$$

$$-\frac{\hbar^2}{2m} \nabla^2 \psi(\vec{r}, t) + V(\vec{r}) \psi(\vec{r}, t) = E \psi(\vec{r}, t) \quad (3.33)$$

$$\psi(\vec{r}, t) = \psi(\vec{r}) \chi(t) \quad (3.34)$$

Fra (3.32):

$$i\hbar \frac{\partial \psi(\vec{r}, t)}{\partial t} = i\hbar \psi(\vec{r}) \frac{\partial \chi(t)}{\partial t} = E \psi(\vec{r}) \chi(t)$$

$\chi$ -kassering, og løsning:

$$\chi(t) = e^{-iEt/\hbar} \quad (3.35)$$

Yttersetting av (3.34) i (3.32), og  $\chi(t)$ -kassering, gir

$$\boxed{-\frac{\hbar^2}{2m} \nabla^2 \psi(\vec{r}) + V(\vec{r}) \psi(\vec{r}) = E \psi(\vec{r})} \quad (3.36)$$

Dette er den tidsavhengige Schrödingerlikningen.

Dull følge funksjonsløsning:

$$\boxed{\psi(\vec{r}, t) = \psi(\vec{r}) e^{-iEt/\hbar}}$$

Tidsavhengig SL brukes ved tidsavhengig potensial til å finne løsninger med definert energi.

Disse kallas også stasjonære tilstander.

Opsæ forventningsverden kan udregnes ved  $\langle \hat{F} \rangle$ :

$$\begin{aligned}\langle \hat{O} \rangle &= \int \psi(\vec{r})^* e^{-\frac{i\hat{E}t}{\hbar}} \hat{O} \psi(\vec{r}) e^{-i\hat{E}t/\hbar} d^3 r \\ &= \int \psi(\vec{r})^* \hat{O} \psi(\vec{r}) d^3 r\end{aligned}$$

FOR OPERATORER SOM  
ER TIDSUAVHENGIGE

Med ny operatornotasjon:

$$H = -\frac{\hbar^2}{2m} \nabla^2 + V$$

(3.37)

blir tidsuavhengig SL:

$$H\psi = E\psi$$

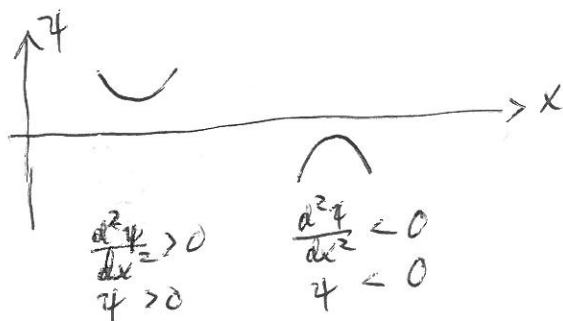
H kaldes Hamiltonoperatoren, som tilsvarer total energi for en klassisk partikkel.

Kvalitative løsninger, og  
kvantiseringens opprinnelse

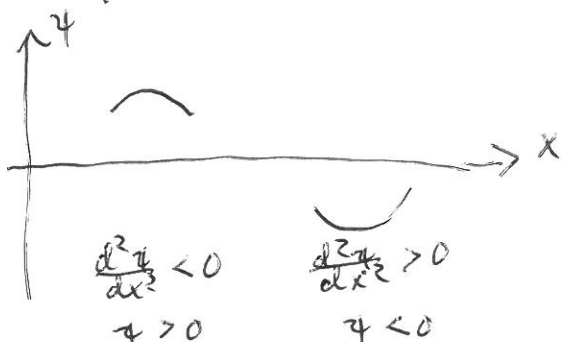
Hverken bestemmes E, når  $V(\vec{r})$  er gitt for systemet?  
Dus bruk i 1D:

$$\frac{d^2\psi}{dx^2} = \frac{2m}{\hbar^2} [V(x) - E] \quad (3.38)$$

Rent matematisk:

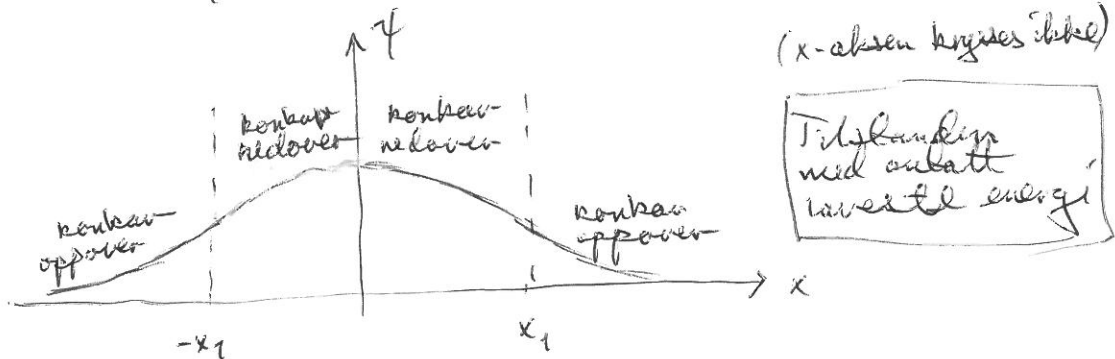
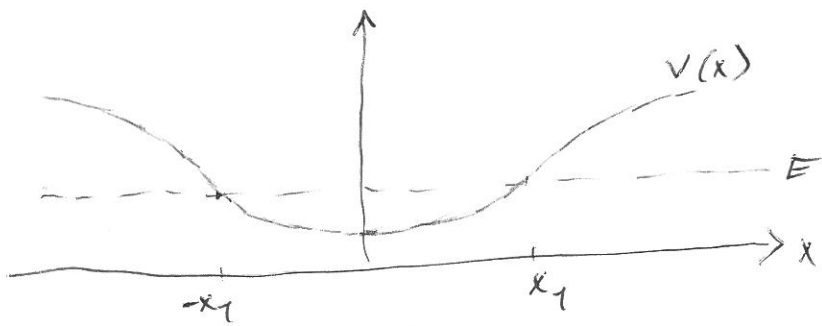


$$E < V \quad (\text{klassisk bundet})$$



$$E > V \quad (\text{klassisk ubundet})$$

Kvantemekanisk, mulig potensial og løsning:

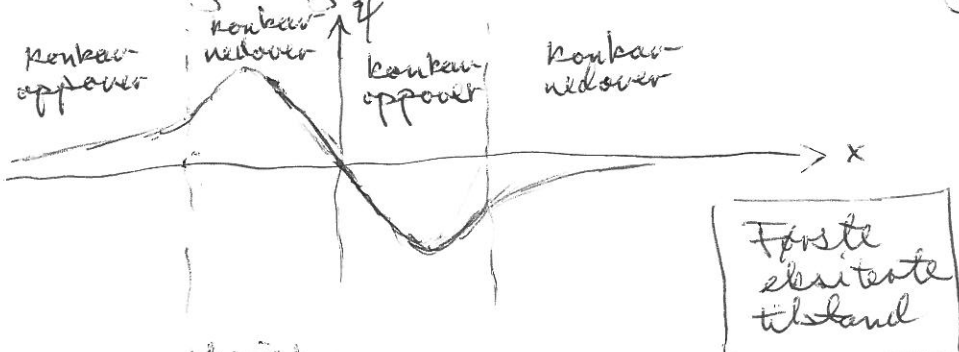


Hvis  $\gamma$  og  $E$  kontinuerlige, må området for  $\gamma \neq 0$  strekke seg ut i det klassiske forbudte området!

For  $E < V$ :  $\gamma$ -kurven har tendens til å "eksplodere" mot  $+\infty$  eller  $-\infty$ , pga.  $\dot{\gamma}^2/\text{der}$ .

Anta meget liten forandring,  $E \rightarrow E'$ :  
Hvis  $\gamma \rightarrow 0$  for  $x \rightarrow \pm\infty$  på venstre side, vil "ubalansem" i  $(V-E)$  få kurven til å gå mot  $+\infty$  eller  $-\infty$  på høyre side!  
Må ikke normalisertes løsning!  
(Kurven krysser x-aksen)

Den har en bestemt litt øvre forandring, kan vi se en x-aksse-krysning med normalisert løsning:



Generelt resultat for bindende tilblinger:

$\#_0$  ingen x-aksse-krysninger,  $\#_1$  en x-aksse-krysning,  $\#_2$  to x-aksse-krysninger, ...

Athånden-tilstand-løsninger finnes bare for faste diskrete verdier av  $E$ .

Ylva med ukendten partisipel,  $E > V$ ?

Vi ser, for det samme potensialet:

Kunnen vel prømme mot x-aksen overalt.

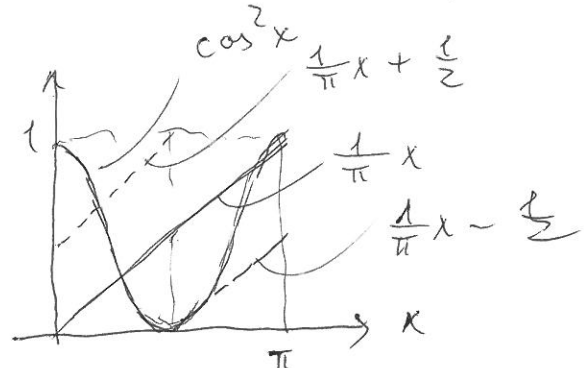
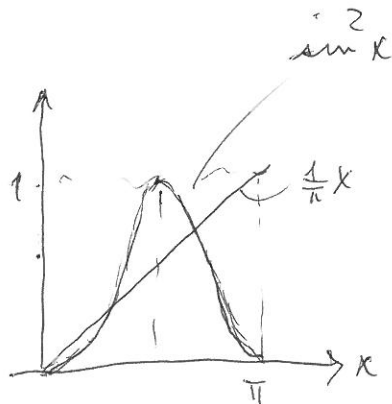
Men får da akseptable ikslinger for sevel små forandringar av  $E$ .

Ukundne tilstander er altså ikke konsistente.

Potensialer som det i eksemplet, kan ha både kendne og ukendne tilstander.

HVA MED  $\int_0^{\pi} x \sin^2 x dx$  ?

Bortsett fra sista ferreningsg:



$$\begin{aligned} \frac{1}{\pi} \int_0^{\pi} x \cos^2 x dx &= \frac{1}{\pi} \int_0^{\pi/2} x \cos^2 x dx + \frac{1}{\pi} \int_{\pi/2}^{\pi} x \cos^2 x dx \\ &= \underbrace{\frac{1}{\pi} \int_0^{\pi/2} (x + \frac{\pi}{2} - \frac{\pi}{2}) \cos^2 x dx}_{\text{dvs}} + \underbrace{\frac{1}{\pi} \int_{\pi/2}^{\pi} (x - \frac{\pi}{2} + \frac{\pi}{2}) \cos^2 x dx}_{\text{dvs}} \end{aligned}$$

↓  
danne resultat  
som  
 $\frac{1}{\pi} \int_0^{\pi/2} x \sin^2 x dx$

↓  
danne resultat  
som  
 $\frac{1}{\pi} \int_{\pi/2}^{\pi} x \sin^2 x dx$

$$\text{Og } \left( \frac{1}{\pi} \int_{\pi/2}^{\pi} \cos^2 x dx \right) = \left( \frac{1}{\pi} \int_0^{\pi/2} \cos^2 x dx \right) \text{ pga. symmetri!}$$

Derved

$$\begin{aligned} \int_0^{\pi} x \sin^2 x dx &= \int_0^{\pi} x (1 - \cos^2 x) dx \\ &= \int_0^{\pi} x (1 - \sin^2 x) dx \end{aligned}$$

$$2 \int_0^{\pi} x \sin^2 x dx = \int_0^{\pi} x dx$$

$$\boxed{\int_0^{\pi} x \sin^2 x dx = \frac{\pi^2}{4}}$$